

3

Listas de Exercícios

3.1 Exercícios resolvidos

Exercício 3.1

Obtenha aproximações discretas para o sistema contínuo da Figura 3.1, através dos seguintes métodos: retangular para trás, mapeamento pólo-zero, bilinear sem compensação e com compensação de distorção na frequência $\omega_s = 1\text{rad/s}$. Para cada método, calcule a resposta analítica da saída $y(k)$ para $k = 0, \dots, 5$, quando a entrada $u(k)$ for um degrau unitário. Suponha $T = 1\text{s}$.

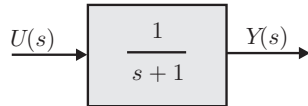


Figura 3.1: Sistema contínuo.

Solução

Método retangular para trás

Tem-se que

$$\frac{Y(z)}{U(z)} = \frac{1}{\frac{z-1}{z} + 1} = \frac{z}{2z-1} = \frac{0,5z}{z-0,5}. \quad (3.1)$$

Para $U(z)$ degrau unitário, obtém-se

$$Y(z) = \frac{0,5z^2}{(z-1)(z-0,5)} = \frac{z}{z-1} - \frac{0,5z}{z-0,5}. \quad (3.2)$$

Logo

$$y(k) = 1 - 0,5(0,5)^k. \quad (3.3)$$

Transformação bilinear ou de Tustin

Tem-se que

$$\frac{Y(z)}{U(z)} = \frac{1}{\frac{2(z-1)}{(z+1)} + 1} = \frac{z+1}{3z-1} = \frac{\frac{1}{3}(z+1)}{z-\frac{1}{3}}. \quad (3.4)$$

Para $U(z)$ degrau unitário, obtém-se

$$Y(z) = \frac{\frac{1}{3}z(z+1)}{(z-1)(z-\frac{1}{3})} = \frac{z}{z-1} - \frac{\frac{2}{3}z}{z-\frac{1}{3}}. \quad (3.5)$$

Logo

$$y(k) = 1 - \frac{2}{3} \left(\frac{1}{3} \right)^k. \quad (3.6)$$

Transformação bilinear com compensação de distorção em frequência

A função de transferência contínua deve ser modificada para

$$\frac{Y(s)}{U(s)} = \frac{\frac{2}{T} \tan \frac{T}{2}}{s + \frac{2}{T} \tan \frac{T}{2}} = \frac{2 \tan 0,5}{s + 2 \tan 0,5}. \quad (3.7)$$

Aplicando a transformação bilinear (??) na Equação (3.7), obtém-se

$$\begin{aligned} \frac{Y(z)}{U(z)} &= \frac{2 \tan 0,5}{\frac{2(z-1)}{T(z+1)} + 2 \tan 0,5} = \frac{\tan 0,5}{\frac{z-1}{z+1} + \tan 0,5} \\ &= \frac{\tan 0,5}{(\tan 0,5 + 1)} \left(\frac{z+1}{z + \frac{\tan 0,5-1}{\tan 0,5+1}} \right) \\ &\cong \frac{0,3533(z+1)}{z - 0,2934}. \end{aligned} \quad (3.8)$$

Para $U(z)$ degrau unitário, obtém-se

$$Y(z) = \frac{0,3533 z(z+1)}{(z-1)(z-0,2934)} = \frac{z}{z-1} - \frac{0,6467z}{z-0,2934}. \quad (3.9)$$

Logo

$$y(k) = 1 - 0,6467(0,2934)^k. \quad (3.10)$$

Método do mapeamento pólo-zero

A função de transferência do sistema discreto é dada por

$$\frac{Y(z)}{U(z)} = \frac{K}{z - e^{-T}} = \frac{K}{z - 0,3679}. \quad (3.11)$$

O ganho K é ajustado para que em baixas frequências, o ganho do sistema contínuo seja igual ao do sistema discreto, ou seja

$$\left. \frac{Y(s)}{U(s)} \right|_{s=0} = \left. \frac{Y(z)}{U(z)} \right|_{z=1} \Rightarrow 1 = \frac{K}{1 - 0,3679} \Rightarrow K = 0,6321. \quad (3.12)$$

Portanto

$$\frac{Y(z)}{U(z)} = \frac{0,6321}{z - 0,3679}. \quad (3.13)$$

Para $U(z)$ degrau unitário, obtém-se

$$Y(z) = \frac{0,6321z}{(z-1)(z-0,3679)} = \frac{z}{z-1} - \frac{z}{z-0,3679}. \quad (3.14)$$

Logo

$$y(k) = 1 - (0,3679)^k. \quad (3.15)$$

Na Tabela 3.1 são apresentados os valores da saída contínua $y(t)$ e discreta $y(k)$ ($k = 0, \dots, 5$) para os métodos analisados.

t, k	Contínua $y(t) = 1 - e^{-t}$	Retangular para trás	Bilinear sem compensação	Bilinear com compensação	Mapeamento pólo-zero
0	0,0000	0,5000	0,3333	0,3533	0,0000
1	0,6321	0,7500	0,7778	0,8103	0,6321
2	0,8647	0,8750	0,9259	0,9443	0,8647
3	0,9502	0,9375	0,9753	0,9837	0,9502
4	0,9817	0,9688	0,9918	0,9952	0,9817
5	0,9933	0,9844	0,9973	0,9986	0,9933

Tabela 3.1: Saída contínua $y(t)$ e discreta $y(k)$.

Na Figura 3.2 são apresentados os gráficos da resposta ao degrau para os métodos analisados.

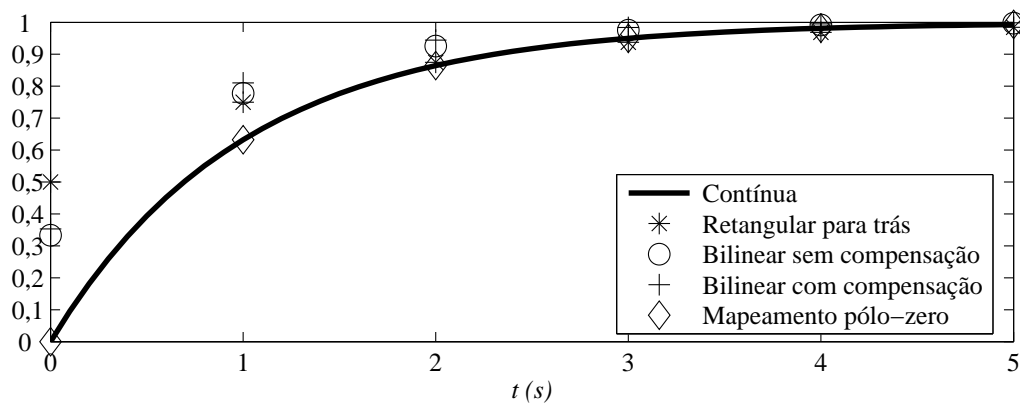


Figura 3.2: Resposta ao degrau.

Exercício 3.2

Considere o sistema discreto da Figura 3.3.

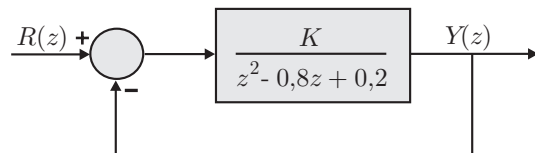


Figura 3.3: Sistema discreto.

Desenhe o lugar das raízes e determine a faixa de valores do ganho K de modo que o sistema seja estável em malha fechada.

Solução

Os pólos do sistema em malha aberta estão localizados em $z_{1,2} = 0,4 \pm 0,2j$. O lugar das raízes começa nos pólos complexos de malha aberta, seguindo assintotas verticais na medida em que o ganho K aumenta, conforme representado na Figura 3.4.

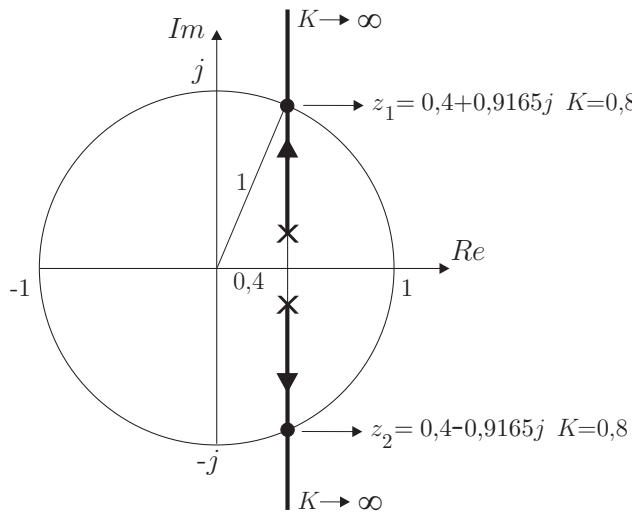


Figura 3.4: Lugar das raízes.

O máximo valor de K que estabiliza o sistema em malha fechada pode ser determinado pelo cruzamento do lugar das raízes com a circunferência de raio unitário, que ocorre nos pontos $z_{1,2} = 0,4 \pm 0,9165j$. O valor de K num destes pontos pode ser calculado pela condição de módulo

$$\left| \frac{K}{z^2 - 0,8z + 0,2} \right|_{z=0,4+0,9165j} = 1 \Rightarrow K = 0,8 . \quad (3.16)$$

Portanto, o sistema em malha fechada é estável para $0 < K < 0,8$.

Exercício 3.3

Considere o sistema da Figura 3.5.

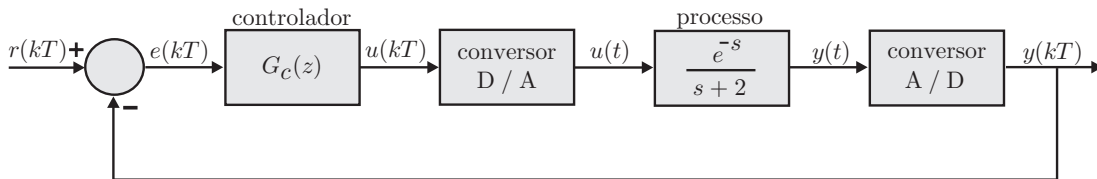


Figura 3.5: Diagrama de blocos de um sistema em malha fechada.

Projete um controlador $G_c(z)$ de modo que as seguintes especificações sejam satisfeitas:

- erro estacionário nulo para entrada $r(kT)$ do tipo degrau unitário e
- pólos de malha fechada dominantes com coeficiente de amortecimento $\xi = 0,6$ e frequência natural $\omega_n = 1$ (rad/s).

Suponha que o período de amostragem é $T = 1s$.

Solução

Os pólos de malha fechada dominantes devem estar localizados em

$$s_{1,2} = -\xi\omega_n \pm j\omega_n\sqrt{1 - \xi^2} = -\xi\omega_n \pm j\omega_d = -0,6 \pm 0,8j . \quad (3.17)$$

Se os pólos dominantes tiverem influência predominante na dinâmica do sistema, então, a resposta ao degrau deve apresentar um sobre-sinal próximo de $M_p \cong 9,5\%$. Como este sistema possui um atraso de transporte de 1s, o tempo de pico máximo está próximo de $t_p \cong 4,9s$.

No plano z os pólos são mapeados em

$$z_{1,2} = e^{Ts_{1,2}} = e^{-0,6T \pm 0,8Tj} \cong 0,3824 \pm 0,3937j . \quad (3.18)$$

A função de transferência $G_p(z)$ do subsistema D/A + processo + A/D é dada por

$$\begin{aligned} G_p(z) &= \frac{Y(z)}{U(z)} = (1 - z^{-1})\mathcal{Z}\left[\frac{G_p(s)}{s}\right] = (1 - z^{-1})\mathcal{Z}\left[\frac{e^{-s}}{s(s+2)}\right] \\ &= (1 - z^{-1})z^{-1}\mathcal{Z}\left[\frac{1}{s(s+2)}\right] = (1 - z^{-1})z^{-1}\mathcal{Z}\left[\frac{0,5}{s} - \frac{0,5}{s+2}\right] \\ &= \left(\frac{z-1}{z}\right)\frac{1}{z}\left[\frac{0,5z}{z-1} - \frac{0,5z}{z-e^{-2T}}\right] = \frac{0,5}{z}\left(\frac{1-e^{-2T}}{z-e^{-2T}}\right) \\ &= \frac{0,4323}{z(z-0,1353)} . \end{aligned} \quad (3.19)$$

Projeto por meio do lugar das raízes

Como a planta não possui integrador, para que o erro estacionário seja nulo para entrada degrau, o controlador deve possuir um pólo em $z = 1$. Esta especificação pode ser satisfeita com um controlador PI ou PID.

Para que o sistema em malha fechada apresente o comportamento transitório desejado, a função de transferência do controlador $G_c(z)$ deve ser calculada de modo que o lugar das raízes passe pelos pólos de malha fechada desejados (3.18). Para isso, será utilizado um controlador PI, que tem uma função de transferência mais simples que a de um PID, ou seja

$$G_c(z) = PI(z) = \bar{k}_p + \bar{k}_i \frac{1}{(1-z^{-1})} \quad \text{ou} \quad G_c(z) = \frac{K(z+C)}{z-1} . \quad (3.20)$$

A função de transferência de malha aberta é dada por

$$G(z) = G_c(z)G_p(z) = \frac{K(z+C)}{(z-1)} \frac{0,4323}{z(z-0,1353)} . \quad (3.21)$$

As constantes C e K podem ser determinadas pelas condições de fase e módulo, respectivamente. Da condição de fase, tem-se que

$$\angle G(z) = \pm \text{ múltiplo ímpar de } 180^\circ . \quad (3.22)$$

$$\text{Assim} \quad \angle z + C - \angle z - 1 - \angle z - 0,1353 = -180^\circ . \quad (3.23)$$

A constante C deve ser calculada num dos pólos desejados $z_{1,2} \cong 0,3824 \pm 0,3937j$, ou seja

$$\arctan\left(\frac{0,3937}{0,3824+C}\right) \cong 71,22^\circ \Rightarrow C \cong -0,2485 . \quad (3.24)$$

O valor de K pode ser calculado por meio da condição de módulo, ou seja

$$|G(z)| = 1 \Rightarrow \left| \frac{K(z-0,2485)}{(z-1)} \frac{0,4323}{z(z-0,1353)} \right|_{z=0,3824+0,3937j} = 1 \Rightarrow K = 1,0392 . \quad (3.25)$$

Portanto, a função de transferência do controlador PI é dada por

$$G_c(z) = \frac{1,0392(z-0,2485)}{z-1} . \quad (3.26)$$

Na Figura 3.6 é apresentado o gráfico do lugar das raízes.

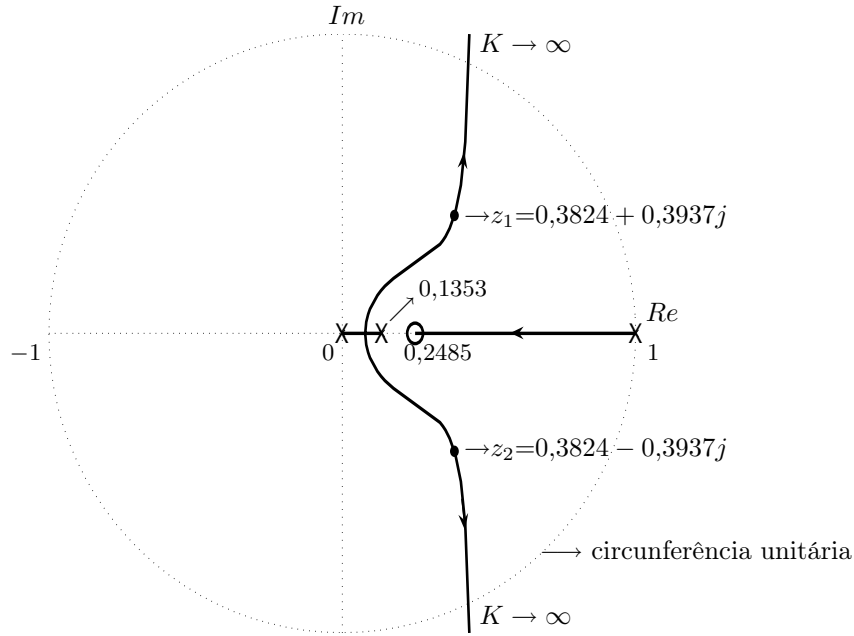


Figura 3.6: Lugar das raízes.

A função de transferência de malha fechada é dada por

$$\begin{aligned} \frac{Y(z)}{R(z)} &= \frac{G(z)}{1+G(z)} = \frac{0,4493(z-0,2485)}{z(z-1)(z-0,1353)+0,4493(z-0,2485)} \\ &= \frac{0,4493(z-0,2485)}{z^3 - 1,1353z^2 + 0,5846z - 0,1116} \end{aligned} \quad (3.27)$$

$$= \frac{0,4493(z-0,2485)}{(z-0,3824-0,3937j)(z-0,3824+0,3937j)(z-0,3706)}, \quad (3.28)$$

com pólos complexos conjugados de acordo com a especificação.

Projeto por meio de imposição algébrica de pólos

A função de transferência de malha fechada com o controlador PI é dada por

$$\begin{aligned} \frac{Y(z)}{R(z)} &= \frac{G(z)}{1+G(z)} = \frac{0,4323K(z+C)}{z(z-1)(z-0,1353)+0,4323K(z+C)} \\ &= \frac{0,4323K(z+C)}{z^3 - 1,1353z^2 + (0,1353 + 0,4323K)z + 0,4323KC}, \end{aligned} \quad (3.29)$$

cujo polinômio característico é

$$F(z) = z^3 - 1,1353z^2 + (0,1353 + 0,4323K)z + 0,4323KC. \quad (3.30)$$

Supondo que $F(z)$ seja o mesmo polinômio característico do denominador da função de transferência de malha fechada (3.27), obtida pelo método do lugar das raízes, então

$$F(z) = z^3 - 1,1353z^2 + 0,5846z - 0,1116. \quad (3.31)$$

Comparando os polinômios (3.30) e (3.31), obtém-se $C \cong -0,2485$ e $K \cong 1,0392$. Logo, a função de transferência do controlador PI é a mesma obtida pelo método do lugar das raízes.

Resposta ao degrau

Aplicando a transformada \mathcal{Z} inversa na função de transfência de malha fechada, obtém-se

$$\begin{aligned} y(kT) = & \quad 1,1353y[(k-1)T] - 0,5846y[(k-2)T] + 0,1116y[(k-3)T] + \\ & 0,4493r[(k-2)T] - 0,1116r[(k-3)T]. \end{aligned} \quad (3.32)$$

Na Tabela 3.2 é apresentada a resposta $y(kT)$ quando $r(kT)$ é um degrau unitário. Note que o sobre-sinal máximo obtido é $M_p \cong 7,01\%$, com tempo de pico máximo $t_p = 5\text{s}$. O sobre-sinal obtido é um pouco menor que o previsto ($M_p = 9,5\%$), devido ao fato do pólo real também influenciar na resposta.

kT	0	1	2	3	4	5	6	7	8	9	10
$y(kT)$	0	0	0,4493	0,8478	1,0375	1,0701	1,0407	1,0094	0,9947	0,9930	0,9962

Tabela 3.2: Resposta ao degrau $y(kT)$ para $kT = 0, 1, 2, \dots, 10$.

Na Figura 3.7 é apresentado o gráfico da resposta ao degrau $y(kT)$. Note que o erro estacionário é nulo, pois $e(\infty) = r(\infty) - y(\infty) = 0$. Além disso, devido ao atraso de transporte da planta de 1s, a resposta do sistema somente ocorre a partir de $kT > 1$.

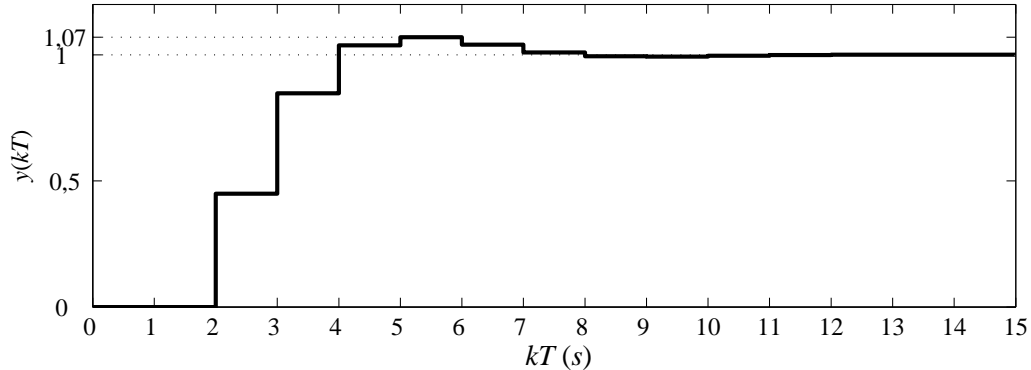


Figura 3.7: Resposta ao degrau unitário.

Exercício 3.4

Pojete um controlador "dead beat" para o sistema da Figura 3.8, de modo que o tempo de acomodação seja mínimo, o erro estacionário para referência do tipo degrau unitário seja nulo e sem que a saída apresente oscilações entre os instantes de amostragem. Suponha também que o erro estacionário para referência do tipo rampa unitária é igual a 0,2 e que o período de amostragem é $T = 1\text{s}$.

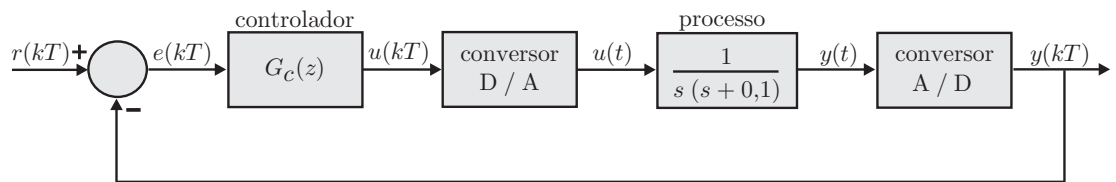


Figura 3.8: Diagrama de blocos de um sistema em malha fechada.

Solução

A função de transferência $G_p(z)$ do subsistema D/A + processo + A/D é dada por

$$\begin{aligned} G_p(z) &= \frac{Y(z)}{U(z)} = (1 - z^{-1})\mathcal{Z}\left[\frac{G_p(s)}{s}\right] = (1 - z^{-1})\mathcal{Z}\left[\frac{1}{s^2(s+0,1)}\right] \\ &= \frac{0,4837(z+0,9672)}{(z-1)(z-0,9048)} \\ &= \frac{0,4837z^{-1} + 0,4679z^{-2}}{1 - 1,9048z^{-1} + 0,9048z^{-2}}. \end{aligned} \quad (3.33)$$

Restrições de projeto

i) Fazendo a divisão na Equação (3.33), o primeiro termo de $G_p(z)$ irá começar com z^{-1} .

Para a função $G_{mf}(z)$ ser causal, o primeiro coeficiente é nulo, ou seja, $g_0 = 0$.

ii) O erro estacionário deve ser nulo para referência do tipo degrau unitário. Assim

$$G_{mf}(1) = 1. \quad (3.34)$$

iii) A planta possui um pólo sobre a circunferência de raio unitário em $z = 1$.

Este pólo deve ser zero da função $1 - G_{mf}(z)$, ou seja

$$1 - G_{mf}(1) = 0 \Rightarrow G_{mf}(1) = 1. \quad (3.35)$$

iv) O erro estacionário deve ser igual a 0,2 para referência do tipo rampa unitária.

Da Equação (??), tem-se que

$$\frac{d[G_{mf}(z)]}{dz} \Big|_{z=1} = -0,2. \quad (3.36)$$

v) A planta possui um zero próximo da circunferência de raio unitário em $z = -0,9672$.

Para evitar oscilações da saída

$$G_{mf}(-0,9672) = 0. \quad (3.37)$$

Como g_0 é igual a 0 na restrição i) e como a restrição ii) é igual a iii), então, a função de transferência de malha fechada tem apenas três termos, ou seja

$$G_{mf}(z) = g_1 z^{-1} + g_2 z^{-2} + g_3 z^{-3}. \quad (3.38)$$

Da restrição ii) ou iii) obtém-se

$$G_{mf}(1) = g_1 + g_2 + g_3 = 1. \quad (3.39)$$

Da restrição iv) tem-se que

$$\frac{d[G_{mf}(z)]}{dz} \Big|_{z=1} = -g_1 z^{-2} - 2g_2 z^{-3} - 3g_3 z^{-4} \Big|_{z=1} = -0,2 \Rightarrow g_1 + 2g_2 + 3g_3 = 0,2. \quad (3.40)$$

Da restrição v) obtém-se

$$G_{mf}(-0,9672) = 0 \Rightarrow -1,0339g_1 + 1,0689g_2 - 1,1052g_3 = 0. \quad (3.41)$$

Das Equações (3.39), (3.40) e (3.41) tem-se o seguinte sistema

$$\begin{bmatrix} 1 & 1 & 1 \\ 1 & 2 & 3 \\ -1,0339 & 1,0689 & -1,1052 \end{bmatrix} \begin{bmatrix} g_1 \\ g_2 \\ g_3 \end{bmatrix} = \begin{bmatrix} 1 \\ 0,2 \\ 0 \end{bmatrix}. \quad (3.42)$$

A solução do sistema (3.42) é $g_1 = 1,1649$, $g_2 = 0,4701$ e $g_3 = -0,6351$. Logo

$$G_{mf}(z) = 1,1649z^{-1} + 0,4701z^{-2} - 0,6351z^{-3}. \quad (3.43)$$

O controlador é calculado por meio da Equação (??), ou seja

$$\begin{aligned} G_c(z) &= \frac{1}{G_p(z)} \frac{G_{mf}(z)}{[1 - G_{mf}(z)]} \\ &= \frac{(z-1)(z-0,9048)}{0,4837(z+0,9672)} \frac{1,1649z^{-1} + 0,4701z^{-2} - 0,6351z^{-3}}{(1 - 1,1649z^{-1} - 0,4701z^{-2} + 0,6351z^{-3})} \\ &= \frac{(z-1)(z-0,9048)}{0,4837(z+0,9672)} \frac{1,1649(z+0,9672)(z-0,5636)}{(z-1)(z-0,8836)(z+0,7187)} \\ &= \frac{2,4082(z-0,9048)(z-0,5636)}{(z-0,8836)(z+0,7187)} \end{aligned} \quad (3.44)$$

$$= \frac{2,4082 - 3,5363z^{-1} + 1,2282z^{-2}}{1 - 0,1649z^{-1} - 0,6351z^{-2}}. \quad (3.45)$$

Aplicando a transformada \mathcal{Z} inversa e a propriedade do atraso nas Equações (3.43) e (3.45), obtém-se

$$y(kT) = 1,1649r[(k-1)T] + 0,4701r[(k-2)T] - 0,6351r[(k-3)T], \quad (3.46)$$

$$u(kT) = 0,1649u[(k-1)T] + 0,6351u[(k-2)T] + 2,4082e[kT] - 3,5363e[(k-1)T] + 1,2282e[(k-2)T]. \quad (3.47)$$

Na Figura 3.9 é apresentado o gráfico da resposta discreta $y(kT)$ e da resposta contínua $y(t)$, quando $r(kT)$ é um degrau unitário. A resposta $y(kT)$ atingiu o estado estacionário em $kT = 3s$, porém, com um sobre-sinal elevado ($M_p \cong 64\%$).

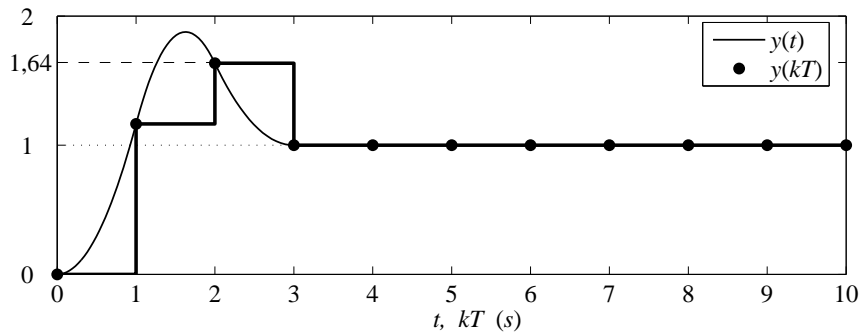


Figura 3.9: Respostas ao degrau unitário $y(kT)$ e $y(t)$.

Na Figura 3.10 é apresentado o gráfico do sinal de controle $u(kT)$, quando $r(kT)$ é um degrau unitário. Note que este sinal é constante para $kT \geq 3s$, o que possibilita que a saída $y(t)$ também seja constante, a partir deste instante.

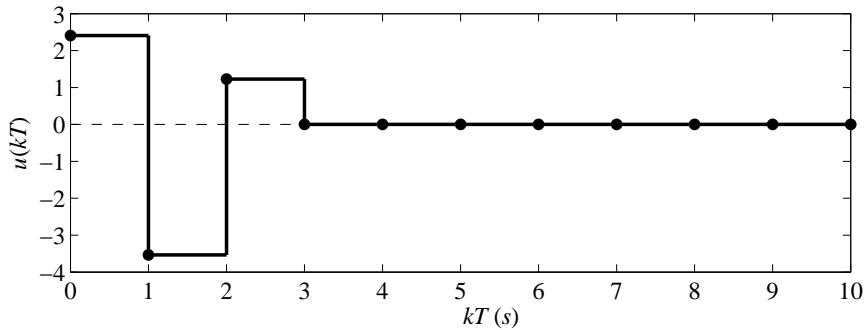


Figura 3.10: Saída do controlador $u(kT)$ para $r(kT)$ do tipo degrau unitário.

Na Figura 3.11 é apresentado o gráfico da resposta $y(kT)$, para entrada de referência do tipo rampa unitária.

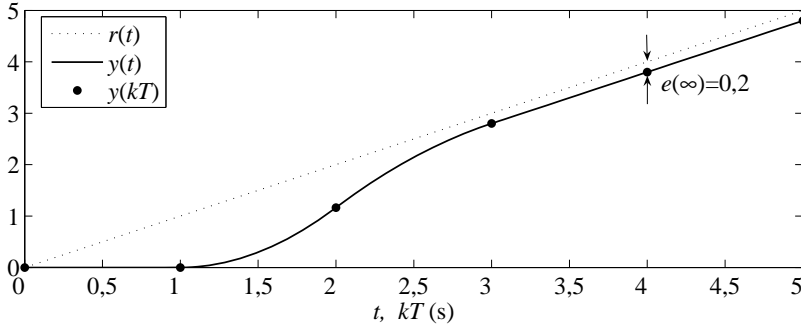


Figura 3.11: Resposta à rampa unitária.

O erro estacionário para referência do tipo rampa unitária é dado por

$$\begin{aligned}
 e(\infty) &= \lim_{z \rightarrow 1} (1 - z^{-1}) \frac{1}{1 + G_c(z)G_p(z)} R(z) \\
 &= \lim_{z \rightarrow 1} (1 - z^{-1}) \frac{1}{\left[1 + \frac{2,4082(z-0,9048)(z-0,5636)}{(z-0,8836)(z+0,7187)} \frac{0,4837(z+0,9672)}{(z-1)(z-0,9048)} \right]} \frac{Tz^{-1}}{(1 - z^{-1})^2} \\
 &= \lim_{z \rightarrow 1} \frac{1}{\left[1 + \frac{2,4082 \cdot 0,4837(z-0,5636)(z+0,9672)}{(z-0,8836)(z+0,7187)(z-1)} \right] (z-1)} \\
 &= \lim_{z \rightarrow 1} \frac{1}{z-1 + \frac{2,4082 \cdot 0,4837(z-0,5636)(z+0,9672)}{(z-0,8836)(z+0,7187)}} \cong 0,2 . \tag{3.48}
 \end{aligned}$$

Na Figura 3.12 é apresentado o gráfico do sinal de controle $u(kT)$, quando $r(kT)$ é uma rampa unitária. Note que este sinal é constante para $kT \geq 3s$.

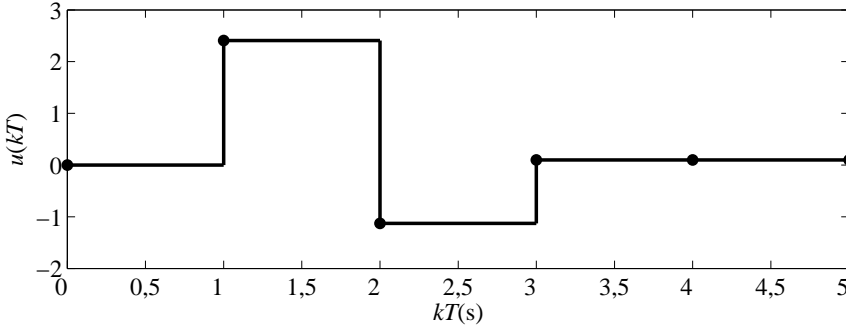


Figura 3.12: Saída do controlador $u(kT)$ para $r(kT)$ do tipo rampa unitária.

O valor de $u(\infty)$ para referência do tipo rampa unitária é dado por

$$\begin{aligned}
 u(\infty) &= \lim_{z \rightarrow 1} (1 - z^{-1}) \frac{G_{mf}(z)}{G_p(z)} R(z) \\
 &= \lim_{z \rightarrow 1} (1 - z^{-1}) \left[\frac{1,1649z^{-1} + 0,4701z^{-2} - 0,6351z^{-3}}{\frac{0,4837(z+0,9672)}{(z-1)(z-0,9048)}} \right] \frac{Tz^{-1}}{(1 - z^{-1})^2} \\
 &= \lim_{z \rightarrow 1} \frac{(1,1649z^{-1} + 0,4701z^{-2} - 0,6351z^{-3})(z-0,9048)}{0,4837(z+0,9672)} \cong 0,1 . \tag{3.49}
 \end{aligned}$$

3.2 Exercícios propostos

Exercício 3.5

Obtenha aproximações discretas para a função de transferência

$$\frac{Y(s)}{U(s)} = \frac{1}{(s + 0,5)(s + 1)}. \quad (3.50)$$

Aplique os seguintes métodos: retangular para trás, mapeamento pólo-zero, bilinear sem compensação e com compensação de distorção na frequência $\omega_s = 1\text{rad/s}$. Para cada método, calcule a resposta analítica da saída $y(k)$ para $k = 0, \dots, 5$, quando a entrada $u(k)$ for um degrau unitário. Suponha $T = 1\text{s}$.

Exercício 3.6

Desenhe o lugar das raízes para o sistema da Figura 3.13 e determine a faixa de valores do período de amostragem T que estabiliza o sistema em malha fechada.

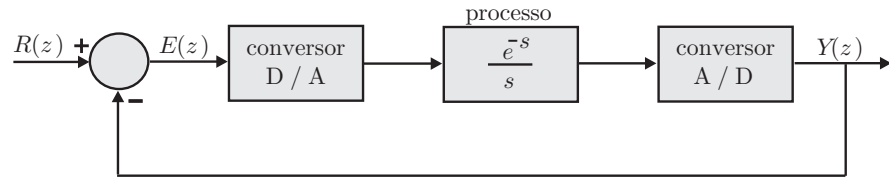


Figura 3.13: Sistema discreto.

Exercício 3.7

Projete um controle discreto para o sistema da Figura 3.14, de modo que a resposta para um degrau aplicado na referência tenha um sobre-sinal máximo de 16,3% e um tempo de acomodação de 2s, segundo o critério de 2%.

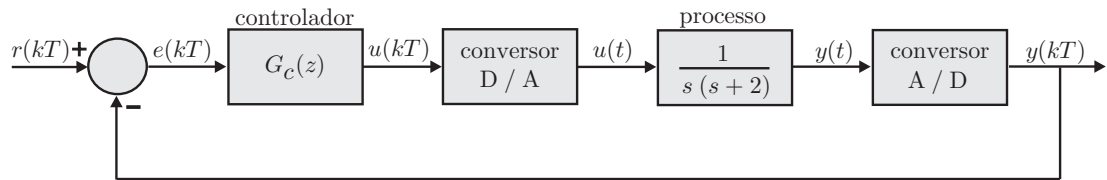


Figura 3.14: Diagrama de blocos de um sistema em malha fechada.

Exercício 3.8

Projete um controle discreto para o sistema da Figura 3.15, de modo que a resposta para um degrau aplicado na referência tenha um sobre-sinal máximo de 20% e um tempo de subida de 1s.

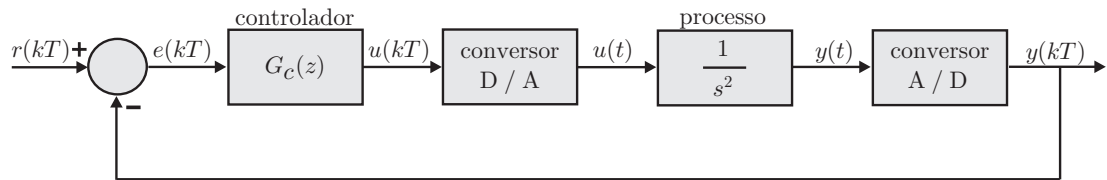


Figura 3.15: Diagrama de blocos de um sistema em malha fechada.

Exercício 3.9

O esquema de um sistema de levitação magnética é apresentado na Figura 3.16. O sistema consiste de um eletroímã que suspende uma massa de material magnético. A levitação da massa é conseguida através do controle da distância $x(t)$, existente entre a massa e a bobina do eletroímã. Na bobina é instalado um sensor que mede a posição $x(t)$ da massa. A partir dessa medida, um sistema de controle discreto calcula uma tensão $u(t)$ a ser aplicada na entrada de um circuito de potência, que por sua vez gera uma corrente $i(t)$ a ser aplicada na bobina. A função de transferência linear do sistema é dada por

$$\frac{X(s)}{U(s)} = \frac{K_p K_s}{(s+1)(s-1)}. \quad (3.51)$$

Supondo $K_p = 0,1(A/V)$ e $K_s = 0,25(V/mm)$, projetar um controle discreto de modo que a resposta para um degrau aplicado na referência tenha um sobressinal máximo de 20% e um tempo de pico de 0,1s.

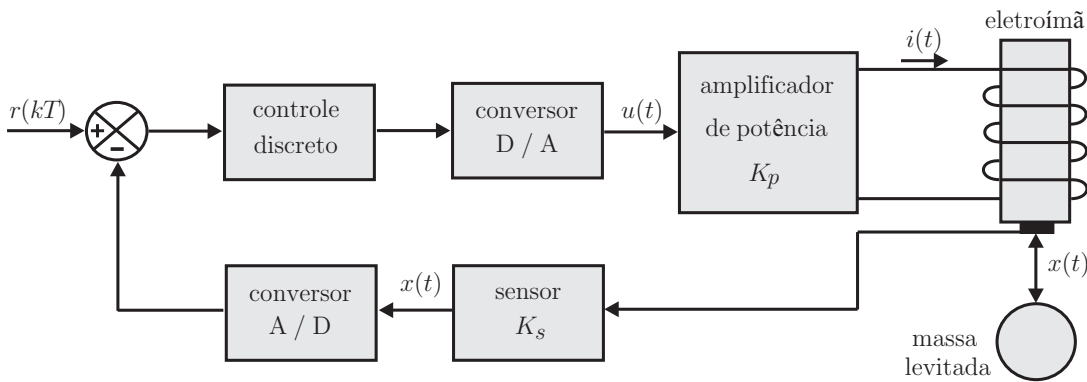


Figura 3.16: Sistema de levitação magnética.

Exercício 3.10

Considere o sistema da Figura 3.17.

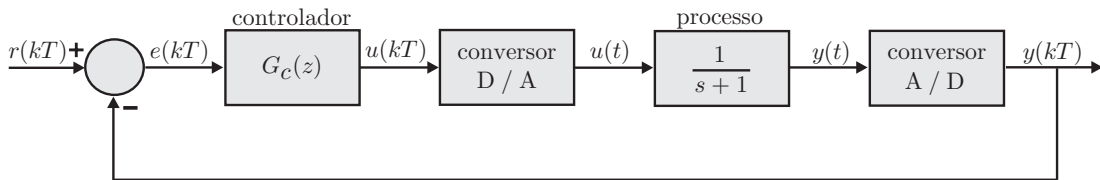


Figura 3.17: Diagrama de blocos de um sistema em malha fechada.

Deseja-se projetar um controlador $G_c(z)$, de modo a satisfazer as seguintes especificações:

- erro estacionário nulo para entrada de referência do tipo degrau unitário;
- margem de fase $MF \cong 30^\circ$.

Exercício 3.11

Pojete um controlador "dead beat" para os sistemas das Figuras 3.14 e 3.15, de modo que o tempo de acomodação seja mínimo, o erro estacionário seja nulo e não haja oscilações da saída entre os instantes de amostragem. Suponha um período de amostragem $T = 1s$.